

细梗香草皂甙对鼻咽癌 CNE-2 细胞的体外抗瘤作用

花永虹¹,胡巧英¹,朴永峰¹,唐秋¹,马胜林²

(1.浙江省肿瘤医院,浙江杭州310022;2.杭州市第一人民医院,浙江杭州310006)

摘要:[目的]观察细梗香草皂甙抗人鼻咽癌CNE-2细胞的效果。[方法]细梗香草皂甙与CNE-2细胞共培养,采用MTT法检测细胞增殖,软琼脂实验检测细胞集落形成情况,流式细胞仪检测细胞凋亡。[结果]不同浓度细梗香草皂甙作用于CNE-2细胞后,细胞存活率显著性降低,48h细梗香草皂甙IC₅₀为7.4μg/ml。CNE-2细胞经8μg/ml细梗香草皂甙处理后,软琼脂集落形成能力下降,集落形成数为119±11个,比对照组(297±24个)低;细梗香草皂甙组的凋亡率达16.43%±3.1%,而对照组为9.34%±2.3%。[结论]细梗香草皂甙对鼻咽癌CNE-2细胞株有抑制增殖和诱导凋亡的作用。

关键词:鼻咽肿瘤;细梗香草皂甙;细胞增殖;凋亡

中图分类号:R739.63 文献标识码:A 文章编号:1004-0242(2014)07-0597-04

doi:10.11735/j.issn.1004-0242.2014.07.A013

The Antitumor Effect of Capilliposide on Nasopharyngeal Cancer Cell Line CNE-2 in vitro

HUA Yong-hong, HU Qiao-ying, PLAO Yong-feng, et al.
(Zhejiang Cancer Hospital, Hangzhou 310022, China)

Abstract: [Purpose] To observe the antitumor activity of capilliposide on human nasopharyngeal cancer cell lines CNE-2. [Methods] CNE-2 cells were cultured with different concentrations with capilliposide. Cell proliferation were measured by MTT assay, colony formation by a soft agar assay and apoptosis by flow cytometry. [Results] The survival rate of CNE-2 cells was significantly decreased after incubation with capilliposide, and the IC₅₀ in 48 hours was 7.4μg/ml. After 8μg/ml concentrations treatment, the number of colony-formation in soft agar of the CNE-2 cells was 297±24, which was lower than that in control group(119±11). Apoptosis rate was 16.43%±3.1% in capilliposide group and 9.34%±2.3% in control group. [Conclusion] Capilliposide plays a role in growth inhibition and inducing apoptosis in human nasopharyngeal cancer cell line CNE-2.

Key words: nasopharyngeal neoplasm; capilliposide ;cell proliferation;apoptosis

细梗香草(*lysimachia capillipes hemsl*),又名排草、香排草、香草、毛柄珍珠菜,系报春花科(Primulaceae)珍珠菜属植物,主要分布在江西、福建、广东、贵州等地。细梗香草性甘、味平,全草入药,主治感冒咳嗽、风湿痛、月经不调、神经衰弱、肿瘤等^[1]。笔者所在的研究组从古方、验方着手,发现细梗香草具有抗肿瘤活性,而细梗香草皂甙发挥主要作用。鼻咽癌是我国常见恶性肿瘤之一,目前采用综合治疗的策

略,5年总生存率控制在60%~70%左右,远处转移是治疗失败的主要方式。本研究探讨细梗香草皂甙体外抗鼻咽癌CNE-2细胞的活性。

1 材料与方法

1.1 药物和主要试剂

细梗香草皂甙由浙江大学田炳奎教授实验室赠送,使用流动相(乙腈:0.3%HAc=42:58)进行溶解至总浓度为10mg/ml,使用时用基础培养基10倍逐级

收稿日期:2014-01-22;修回日期:2014-03-22

E-mail:yonghonghua@163.com

稀释至 1mg/ml, 100 μ g/ml 备用。RPMI-1640 购自杭州四季青生物有限公司,DMSO、MTT 以及小牛血清均购自 Sigma 公司, Annexin V-FITC 调亡试剂盒购自 Beyotime 公司。

1.2 细胞和细胞培养

鼻咽癌 CNE-2 细胞株由浙江省肿瘤医院肿瘤研究所提供。复苏后的 CNE-2 细胞采用含 10% 小牛血清的 RPMI-1640 培养液,于 37℃、5%CO₂ 培养箱中培养,2~3d 传代 1 次,取对数生长期的细胞进行实验。

1.3 MTT 法检测细胞增殖

CNE-2 细胞经胰酶消化,接种于 96 孔板,每孔细胞数 1×10⁴ 个,培养 12h 后换无血清培养液继续培养 12h,使细胞同步生长;之后,换含不同浓度细梗香草皂甙的 RPMI-1640 培养液 100 μ l,根据预实验结果,设置浓度梯度为:2, 4, 8, 20, 40 μ g/ml,每个浓度设 4 个复孔,并设空白对照组。各组 CNE-2 细胞加药 0h, 24h, 48h, 72h 后,每孔加入 MTT 10 μ l,置 37℃ 培养箱孵育 4h,弃去上清,每孔加入 DMSO 150 μ l,充分震荡混匀 10min,吹打混匀后取 120 μ l 于另一干净 96 孔板中,并取 120 μ l DMSO 作为空白对照调零,酶标仪上测 OD,波长为 570nm。实验重复 3 次,取平均值,绘制细胞生长曲线,计算 IC₅₀ 值。采用同样方法计算化疗药物顺铂(cisplatin, DDP)的 IC₅₀ 值。

1.4 软琼脂集落形成实验检测细胞克隆率

CNE-2 细胞按要求设 3 组,分别为空白对照组、细梗香草皂甙组(IC₅₀ 浓度)和 DDP 组(IC₅₀ 浓度),在 37℃ 培养箱中培养 48h,再经胰酶消化形成单细胞悬液。分别制备 1.2% 和 0.7% 的软琼脂糖,按 1:1 混合 1.2% 琼脂糖和 2 倍培养基后注入 6 孔板中,制成底层凝胶,冷却凝固后,0.7% 琼脂和 2 倍培养基在无菌试管中 1:1 混合,再向管中加入 CNE-2 细胞悬液,使每孔细胞数为 500 个,充分混匀倒入已铺有底层凝胶的孔中,形成双琼脂层。待凝固后,置入 37℃ 培养箱中培养 10~14d,计数含 50 个细胞以上

得克隆,计算细胞集落形成率。

1.5 流式细胞仪检测细胞凋亡情况

CNE-2 细胞经胰酶消化、计数后以 1.5×10⁵/孔的浓度接种于 6 孔板,每孔 2ml,共设 3 组,为空白对照组、细梗香草皂甙组(IC₅₀ 浓度)和 DDP 组(IC₅₀ 浓度)。于 37℃ 培养箱内培养 24, 48h 后消化离心、收集细胞,调整细胞密度为 1×10⁶/L,按照 Annexin V-FITC 凋亡试剂盒提供的说明书操作,流式细胞仪检测并分析细胞凋亡。

1.6 统计学处理

数据用均数±标准差(̄x±s)表示。采用 SPSS 10.0 统计软件对数据进行分析,对于两组数据比较选用成组 t 检验,两组以上数据选用方差分析。P<0.05 为差异有统计学意义。

2 结 果

2.1 不同浓度细梗香草皂甙对 CNE-2 细胞增殖的影响

从 MTT 结果(Figure 1)来看,不同浓度的细梗香草皂甙在前 24h 未显示明显的抑制率差别,而 48h 后,细梗香草总皂苷 8 μ g/ml 抑制率达到最高,抑制率可达 55%,随浓度继续增高,抑制率差异无统计学意义(Figure 1)。细梗香草浓度在 40 μ g/ml,在 24h 即对 CNE-2 细胞呈现过大毒性,以至于 48h 时该浓度处理细胞全部死亡。根据细胞抑制率,计算 48h 细梗香草皂甙 IC₅₀ 为 7.4 μ g/ml;DDP IC₅₀ 则为 4.1 μ g/ml。

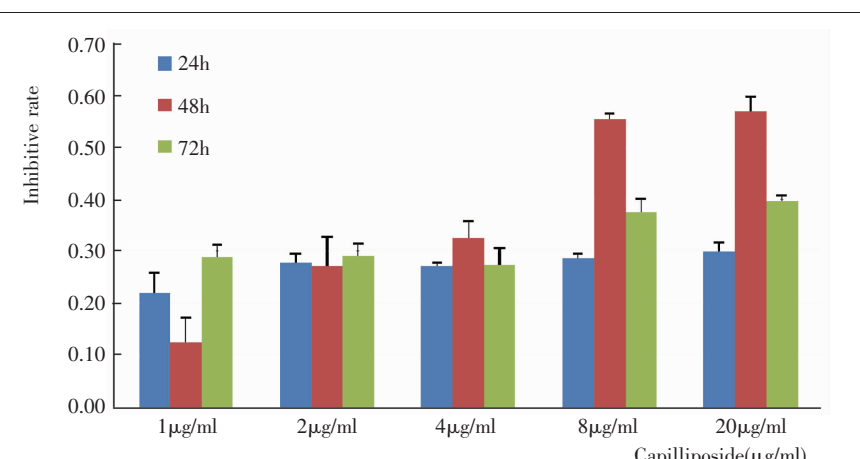


Figure 1 Proliferation of CNE-2 cells culturing with different concentrations of capilliposide

2.2 细梗香草皂甙对CNE-2软琼脂集落形成能力的影响

CNE-2细胞经 $8\mu\text{g}/\text{ml}$ 细梗香草皂甙处理48h后,软琼脂集落形成能力明显降低。与空白对照组相比,软琼脂集落形成数量少且面积小,差异具有统计学意义($P=0.03$);即使与DDP组比较,形成的集落数也少,但差异未见统计学意义($P=0.21$)(Table 1)。

Table 1 The number of colony-forming in soft agar of CNE-2 cells

Group	Colony-forming(n)	P value*
Negative control group	297±24	$P=0.03$
DDP control group	167±10	$P=0.21$
Capilliposide group	119±11	

*:Comparisons between capilliposide group and control group

2.3 细梗香草皂甙诱导CNE-2凋亡的作用

细梗香草皂甙处理CNE-2细胞48h,Annexin V-FITC法测定细胞凋亡率,可见CNE-2细胞经药物处理后凋亡率明显增高。空白对照组CNE-2细胞48h时凋亡率为 $9.34\% \pm 2.3\%$,而经细梗香草皂甙处理后,凋亡率达 $16.43\% \pm 3.1\%$,经DDP处理后CNE-2细胞的凋亡率为 $19.38\% \pm 3.3\%$ (Figure 2)。

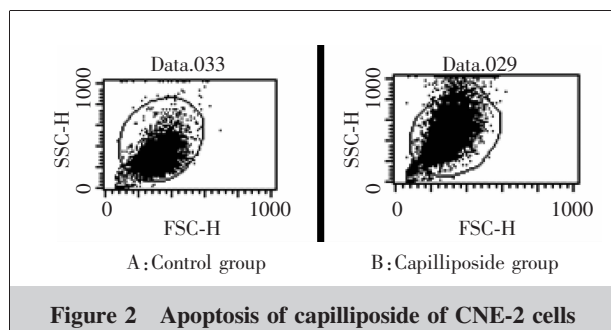


Figure 2 Apoptosis of capilliposide of CNE-2 cells

3 讨 论

鼻咽癌是我国常见恶性肿瘤之一,目前治疗以放射治疗为基础的综合治疗,总体5年生存率在70%左右^[2],远处转移成为影响鼻咽癌预后的重要因素^[3]。

我们采用乙醇提取,大孔径树脂纯化,反相硅胶结合ELSD在线检测精制得到细梗香草皂苷,其中以细梗香草皂甙B为主^[4,5]。细梗香草皂甙B是一个新的含半缩醛羟基的五环三萜皂苷,分子式C58H96O24,分子量1176.7。本研究旨在探讨细梗香

草皂甙体外抗鼻咽癌的活性,将细梗香草皂甙与低分化人鼻咽癌CNE-2细胞株共孵育,发现细梗香草皂甙具有抑制CNE-2细胞增殖的作用,这可能与细梗香草皂甙逆转CNE-2细胞恶性表型有关。CNE-2细胞经 $8\mu\text{g}/\text{ml}$ 细梗香草皂甙处理后,软琼脂集落形成率显著性下降,显示细胞的恶性表型受到抑制。一般认为,肿瘤细胞在半固体琼脂上形成集落的数量与其恶性程度呈正相关;另一方面,研究发现细梗香草皂甙能显著性诱导CNE-2细胞凋亡,经细梗香草皂甙处理48h后,CNE-2细胞的凋亡率由9.34%升高到16.43%。

为进一步确定细梗香草皂甙对CNE-2细胞的抗癌活性,研究中除设空白对照组外,还利用DDP IC₅₀浓度作为阳性对照组。与DDP相比,细梗香草皂甙抑制CNE-2细胞增殖活性可能更多依赖于抑制肿瘤细胞的侵袭行为。在软琼脂集落形成研究中,与DDP处理后CNE-2细胞相比,经细梗香草皂甙处理的CNE-2细胞在软琼脂上形成细胞集落的能力更差,而在凋亡研究中,DDP处理过的CNE-2细胞凋亡率高于细梗香草皂甙处理过的CNE-2细胞,反映细梗香草皂甙可能更倾向于抑制CNE-2细胞的恶性生物学行为,在控制肿瘤远处转移方面可能有其优势,有进一步探索的价值。

以上研究结果与我们以往对中药提取类药物的认识是相符合的,一般认为,中医中药可能更多从提高免疫系统功能、逆转肿瘤恶性程度、改善放化疗抵抗等方面发挥抗肿瘤作用,而对肿瘤细胞的直接杀伤效应相对较弱^[6-10]。

综上,细梗香草皂甙在较低的浓度即显示较强的CNE-2抑制作用,抑制率与药物浓度和作用时间都有关;与DDP相比,细梗香草皂甙更倾向于抑制肿瘤细胞的恶性生物学行为,而不是直接的细胞杀灭作用。

参考文献:

- [1] Shi KH,Guo DW,Chen BL,et al. Capilliposide domestication and cultivation [J]. Chinese Wild Plant Resources, 1997,16(3):47-48. [施开鸿,郭达伟,陈碧玲,等. 细梗香草驯化栽培技术 [J]. 中国野生植物资源, 1997, 16(3): 47-48.]
- [2] Yi JL,Gao L,Huang XD,et al. Nasopharyngeal carcinoma treated by radical radiotherapy alone:ten-year experience

- of a single institution[J]. Int J Radiat Oncol Biol Phys, 2006,65(1):161–168.
- [3] Han L,Lin SJ,Pan JJ,et al. Prognostic factors of 305 nasopharyngeal carcinoma patients treated with intensity-modulated radiotherapy[J]. Chinese Journal of Cancer,2010,29(2):153–158. [韩露,林少俊,潘建基,等. 305例鼻咽癌调强放疗预后因素分析[J]. 癌症,2010,29(2):153–158.]
- [4] Xu Y,Rong YM,Liu XB,et al. Experimental studies on anti-tumor effects of Capilliposide[J]. Chinese Pharmacological Bulletin,2012,28(4):545–548. [徐燕,荣语媚,刘小保,等. 细梗香草总皂苷的抗肿瘤活性研究[J]. 中国药理学通报,2012,28(4):545–548.]
- [5] Ying HM,Qi ZJ,Guo DW,et al. Quantitative determination of capilliposide B and capilliposide C in lysimachia capillipes by HPLC-ELSD assay[J]. Chinese Pharmaceutical Journal,2011,46(9):704–706. [应弘梅,戚中杰,郭达伟,等. HPLC-ELSD 测定细梗香草皂苷 B 与皂苷 C 的含量[J]. 中国药学杂志,2011,46(9):704–706.]
- [6] Long D,Wang J,Li D,et al. Research of luyuan capsule leachate on the in vitro maturation of dendritic cells of adult peripheral blood[J]. Chinese Journal of Integrated Traditional and Western Medicine,2012,32(11):1558–1561. [龙丹,王佳,李典,等. 绿原胶囊浸出液促成人外周血树突状细胞体外成熟的研究[J]. 中国中西医结合杂志,2012,32(11):1558–1561.]
- [7] Tian YZ,Miao QW,Zhao HL,et al. Reversal effect of as-tragaloside on multidrug resistance of drug-resistant hepatocellular carcinoma cell line HepG2/GCS [J]. Chinese Journal of General Surgery,2011,11(7):778–779. [田彦璋,苗青旺,赵浩亮,等. 黄芪甲苷逆转耐药肝癌细胞株 HepG2/GCS 多药耐药的研究[J]. 中国药物与临床,2011,11(7):778–779.]
- [8] Du R,Zheng H,Wang YP,et al. Reversal of the malignant phenotypes by tanshinone II A in human breast cancer MCF-7 cell lines and its molecular mechanism [J]. West China Journal of Pharmaceutical Sciences,2009,24 (1):35–38. [杜睿,郑鸿,王艳萍,等. 丹参酮 II A 逆转变人 ER 阳性乳腺癌细胞的恶性表型及其机理 [J]. 华西药学杂志,2009,24(1):35–38.]
- [9] Peng A,Shen DL,Xu SZ. Reverse effects of Zilongjin on the malignant phenotype of bel-7402 human hepatocarcinoma cells[J]. The Practical Journal of Cancer,2012,27(2):111–113. [彭安,申东兰,徐颂周. 紫龙金诱导 Bel-7402 人肝癌细胞分化的实验研究[J]. 实用癌症杂志,2012,27(2):111–113.]
- [10] Gu X,Yang DD,Wang L,et al. Icarin induces the differentiation and reverses the malignant phenotype of SW579 cells [J]. Chinese Journal of Current Advances in General Surgery,2012,15(7):505–509. [顾欣,杨丹丹,王丽,等. 淫羊藿甙诱导甲状腺癌细胞系 SW579 的分化及恶性表型逆转的实验研究[J]. 中国现代普通外科进展,2012,15(7):505–509.]